

# بهبود عملکرد ترانزیستور تونل زنی عمودی مبتنی بر ژرمانیوم با به کارگیری GaAs به عنوان کانال

شعب ابایی توسکی<sup>۱</sup>، محمدجواد رضایی<sup>۲</sup> و سید منوچهر حسینی<sup>۳\*</sup>

اطلاعات مقاله	چکیده
دریافت مقاله: ۱۴۰۰/۱۲/۲۰ پذیرش مقاله: ۱۴۰۲/۰۰/۰۰	در این مقاله ترانزیستور تونل زنی عمودی مبتنی بر ژرمانیوم بررسی شده است. ویژگی های الکتریکی ترانزیستور در دو حالت استفاده از ژرمانیوم و همچنین استفاده از گالیوم-آرسناید به عنوان کانال مقایسه شده و شبیه سازی آن توسط نرم افزار سیلوکو و با استفاده از مدل تونل زنی غیر محلی انجام شده است. نتایج نشان می دهد که جریان روشنایی بیشتر، جریان خاموشی کمتر و جریان دوقطبی درین کمتر در ولتاژ گیت منفی از مزایای استفاده از گالیوم-آرسناید به جای ژرمانیوم به عنوان کانال است. در ادامه، پارامترهای کانال تغییر داده شده اند و اثر تغییر آن ها بر روی رفتار ترانزیستور مطالعه شده است. افزایش طول کانال باعث کاهش جریان خاموشی و افزایش نسبت جریان روشنایی به خاموشی شده و همچنین باعث کاهش شیب زیرآستانه می شود. از طرف دیگر، افزایش عرض کانال، باعث کاهش نسبت جریان روشنایی به خاموشی و افزایش شیب زیرآستانه می شود. نسبت جریان روشنایی به خاموشی با افزایش طول کانال و کاهش عرض کانال افزایش می یابد و این نسبت می تواند تا $10^{15} \times 1/5$ افزایش پیدا کند.

۱-مقدمه  
کاهش ولتاژ و ابعاد یک راه مؤثر برای کاهش توان در قطعات الکترونیکی است. اگرچه، این کاهش با توجه به اثرات کانال کوتاه در ابعاد نانومتر به مشکل برخورد کرده است. اثرات کانال کوتاه باعث افزایش جریان خاموشی و در نتیجه توان اتلافی می شود [۱]. یک راه مؤثر برای کاهش ولتاژ تغذیه و هم زمان کوچک نگه داشتن جریان خاموشی، کاهش شیب زیرآستانه (sub-threshold swing) است. از طرفی، شیب زیرآستانه به  $60\text{mV/dec}$  برای ترانزیستورهای اثر میدان معمولی محدود شده است و با توجه به جریان گرمایی امکان کاهش بیشتر نیست. برای حل این مشکل، دانشمندان راه حل های مختلفی ارائه داده اند. ترانزیستور اثر میدان تونل زنی ( Tunneling Field Effect Transistors) با شیب زیرآستانه کم به عنوان یک گزینه برای جایگزین ترانزیستورهای معمولی پیشنهاد شده است [۲-۱۱]. به عنوان نمونه، ترانزیستور تونل زنی مبتنی بر فسفر سیاه که شیب زیرآستانه متوسط برای ۴ دهه افزایش جریان برای این ترانزیستور  $22.9\text{meV/dec}$  گزارش شده است [۱۲]. ترانزیستور اثر میدان تونل زنی علاوه بر شیب زیرآستانه ی پایین، جریان خاموش کمی هم دارا هستند. این دو خاصیت باعث کاهش توان در ترانزیستورها خواهد شد [۱۳-۱۶]. آن ها همچنین جریان روشنایی کمتری از خود نشان می دهند. یک راه معمول برای حل این مشکل استفاده از یک ماده با شکاف انرژی کوچک مثل ژرمانیوم در طرف سورس است [۱۷-۱۹]. این شکاف انرژی کوچک باعث کاهش سد پتانسیل و افزایش جریان روشنایی خواهد شد. راه حل دیگر، استفاده از ترانزیستور تونل زنی عمودی (Vertical Tunneling FET) است [۲۰]. در ترانزیستور تونل زنی عمودی، سورس، کانال و

در این مقاله ترانزیستور تونل زنی عمودی مبتنی بر ژرمانیوم بررسی شده است. ویژگی های الکتریکی ترانزیستور در دو حالت استفاده از ژرمانیوم و همچنین استفاده از گالیوم-آرسناید به عنوان کانال مقایسه شده و شبیه سازی آن توسط نرم افزار سیلوکو و با استفاده از مدل تونل زنی غیر محلی انجام شده است. نتایج نشان می دهد که جریان روشنایی بیشتر، جریان خاموشی کمتر و جریان دوقطبی درین کمتر در ولتاژ گیت منفی از مزایای استفاده از گالیوم-آرسناید به جای ژرمانیوم به عنوان کانال است. در ادامه، پارامترهای کانال تغییر داده شده اند و اثر تغییر آن ها بر روی رفتار ترانزیستور مطالعه شده است. افزایش طول کانال باعث کاهش جریان خاموشی و افزایش نسبت جریان روشنایی به خاموشی شده و همچنین باعث کاهش شیب زیرآستانه می شود. از طرف دیگر، افزایش عرض کانال، باعث کاهش نسبت جریان روشنایی به خاموشی و افزایش شیب زیرآستانه می شود. نسبت جریان روشنایی به خاموشی با افزایش طول کانال و کاهش عرض کانال افزایش می یابد و این نسبت می تواند تا  $10^{15} \times 1/5$  افزایش پیدا کند.

\* پست الکترونیک نویسنده مسئول: m.hosseini@basu.ac.ir

۱. استادیار، دانشکده مهندسی برق، دانشگاه صنعتی همدان، همدان، ایران  
۲. دانشجوی، دانشکده مهندسی برق، دانشگاه صنعتی همدان، همدان، ایران  
۳. استادیار، دانشکده مهندسی برق، دانشگاه بوعلی سینا، همدان، ایران

درین به صورت عمودی رشد کرده‌اند و امکان افزایش مقدار جریان با افزایش سطح ترانزیستور وجود دارد که می‌تواند مشکل جریان روشنایی را برطرف کند.

مشکل دیگر ترانزیستورهای تونل‌زنی، جریان دوقطبی (Ambipolar Current) آن‌ها است [۱۷ و ۲۱]. بدین معنا که به ازای ولتاژ گیت‌های منفی همانند ولتاژ گیت مثبت، جریان قابل ملاحظه‌ای ایجاد می‌گردد. این پدیده باعث شده‌است که ترانزیستور تونل‌زنی در یک محدوده‌ی ولتاژ مطمئن خاموش نباشد و استفاده از آن در خیلی از مدارات با مشکل روبرو شود. برای حل این مشکل، روش‌های مختلفی پیشنهاد شده‌است. استفاده از یک جداکننده مابین درین و گیت، همپوشانی گیت بر روی درین و کاهش چگالی ناخالصی طرف درین از جمله راه‌حل‌هایی است که ارائه شده‌است. یک راه‌حل دیگر، استفاده از ساختارهای ناهمگون است [۲۲]. بدین معنا که استفاده از یک ماده‌ی دیگر با شکاف انرژی بالا در طرف درین باعث افزایش عرض تونل‌زنی در طرف درین و کاهش جریان دوقطبی می‌گردد. در مقاله‌ای دیگر، ساختار T شکلی که دارای دو سورس است و از ۲ ماده در کانال استفاده می‌کند، برای کاهش این جریان پیشنهاد شده‌است [۲۳].

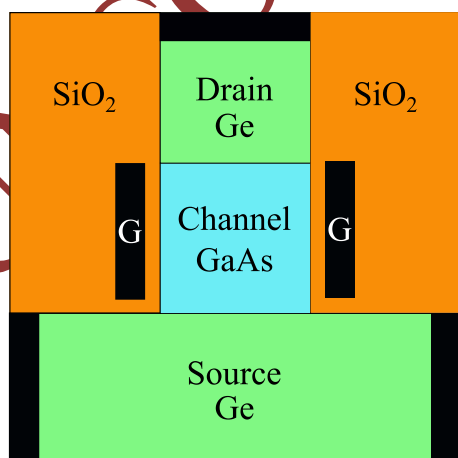
ساختار ناهمگون ژرمانیوم/گالیوم-آرسناید با ثابت شبکه-های یکسان و تحرک پذیری بالا در ترانزیستور معمولی و تونل‌زنی مورد توجه قرار گرفته‌است [۲۴-۲۶]. در این ترانزیستورها، استفاده از ساختار ناهمگون باعث کاهش شیب زیرآستانه می‌شود [۲۷]. ترانزیستور تونل‌زنی مبتنی بر ساختار ناهمگون ژرمانیوم - گالیوم-آرسناید دارای جریان روشنایی  $76.8 \mu A/\mu m$ ، جریان خاموشی بسیار کم  $7.4 \times 10^{-17} A/\mu m$  و شیب زیرآستانه‌ی  $5.73 \text{ mV/dec}$  است [۲۸]. در کار دیگر، ساختار ناهمگون Ge/GaAs در ترانزیستور تونل‌زنی افقی با استفاده از تونل‌زنی عمودی در کنار تونل‌زنی افقی مورد بررسی قرار گرفته‌است. این ترانزیستور با طول کانال ۵ نانومتر و ولتاژ درین ۰/۲ ولت، جریان روشنایی  $142 \mu A/\mu m$ ، شیب زیرآستانه‌ی  $29.1 \text{ mV/dec}$  و نسبت جریان روشنایی به خاموشی  $1.27 \times 10^7$  دارد [۲۹].

در این کار، یک ترانزیستور تونل‌زنی عمودی مبتنی بر ژرمانیوم مورد مطالعه قرار گرفته‌است. نوآوری این کار استفاده از گالیوم-آرسناید به عنوان کانال در ترانزیستوری

مبتنی بر ژرمانیوم است. شکاف انرژی بیشتر گالیوم-آرسناید نسبت به ژرمانیوم، بهبود عملکرد ترانزیستور را به دنبال خواهد داشت. در بخش ۲، روش شبیه‌سازی افزار و مدل‌های مربوطه توضیح داده شده‌است. در بخش ۳، نتایج شبیه‌سازی این ترانزیستور ارائه شده‌است و نتایج با ترانزیستور تونل‌زنی عمودی مبتنی بر ساختار همگون ژرمانیوم مقایسه شده‌است. نتایج کار در بخش ۴ بررسی شده‌است.

## ۲- جزئیات محاسبات

شکل (۱) ساختار ترانزیستور تونل‌زنی عمودی را نشان می‌دهد که در این کار مورد بررسی قرار گرفته‌است. شبیه‌سازی‌های این کار توسط نرم‌افزار سیلیواکو (Silvaco) انجام شده‌است. در این ترانزیستور، از مدل تونل‌زنی باند-به-باند غیر محلی (non-local band-to-band tunneling) برای محاسبه نرخ تونل‌زنی استفاده شده‌است. همچنین از مدل‌های شاکلی-رید-هال (SRH) و اوژه (Auger) برای محاسبه بازترکیب حامل‌های الکتریکی استفاده شده‌است. از مدل CVT برای محاسبه قابلیت تحرک در حضور میدان الکتریکی عمودی، چگالی ناخالصی و پراکنش وابسته به دما استفاده می‌شود. نیمه-هادی قیمت سورس و درین از جنس ژرمانیوم انتخاب شده و جنس نیمه‌هادی کانال یک بار ژرمانیوم و بار دیگر گالیوم-آرسناید در نظر گرفته شده‌است تا اثر تغییر جنس نیمه‌هادی مورد بررسی قرار گیرد. طول کانال ۱۵ نانومتر و عرض کانال ۱۰ نانومتر در نظر گرفته شده‌است. برای ماده دی‌الکتریک از اکسید سیلیسیم استفاده شده‌است.



شکل ۱- ساختار ترانزیستور تونل‌زنی عمودی

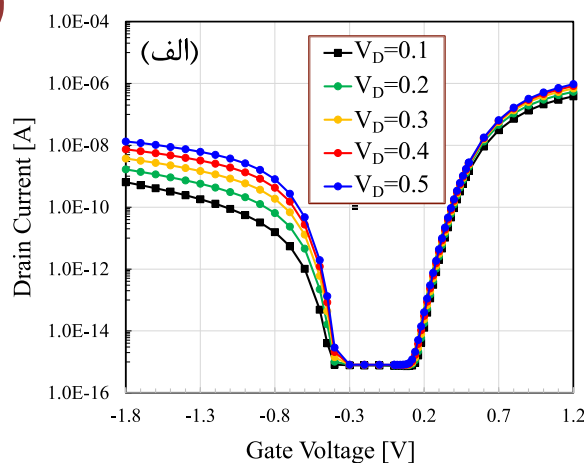
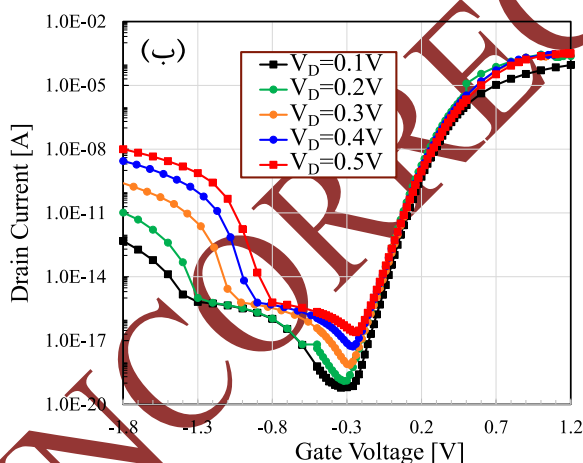
### ۳- نتایج

جریان روشنایی به خاموشی ترانزیستور مبتنی بر ژرمانیوم و ترانزیستور مبتنی بر گالیوم-آرسناید به ترتیب برابر  $1.0 \times 10^{-10}$  و  $8.0 \times 10^{-12}$  است که نشان‌دهنده نسبت جریان روشنایی به خاموشی بسیار بزرگ‌تر در ترانزیستور مبتنی بر گالیوم-آرسناید است. علت نسبت بالای جریان روشنایی به خاموشی ناشی از بزرگ‌تر بودن شکاف انرژی گالیوم-آرسناید نسبت به شکاف انرژی ژرمانیوم است که باعث کوچک شدن جریان خاموشی می‌شود و از طرفی با کوچک‌تر شدن فاصله‌ی تونل‌زنی، جریان روشنایی افزایش می‌یابد.

کاهش ولتاژ تغذیه نیز نسبت جریان روشنایی به خاموشی را افزایش می‌دهد و برای ولتاژ درین ۰/۱ ولت، این نسبت در ترانزیستور مبتنی بر گالیوم-آرسناید برابر  $1.4 \times 10^{15}$  خواهد بود.

نکته حائز اهمیت این است که در ترانزیستور مبتنی بر گالیوم-آرسناید، جریان دوقطبی درین با بزرگ شدن ولتاژ منفی گیت افزایش کمتری را نسبت به همین جریان در ترانزیستور مبتنی بر ژرمانیوم دارد که خود یکی از مزیت‌های ترانزیستور مبتنی بر گالیوم-آرسناید محسوب می‌شود.

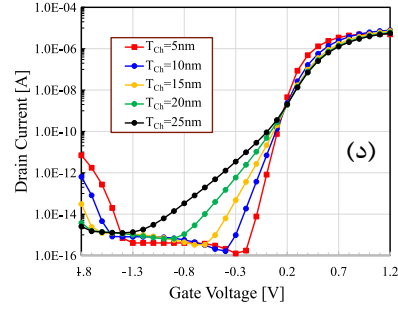
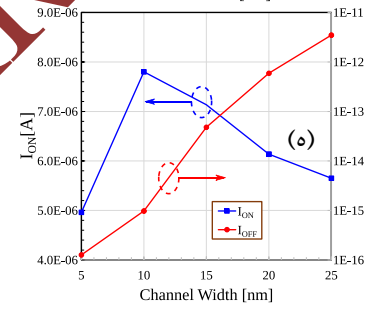
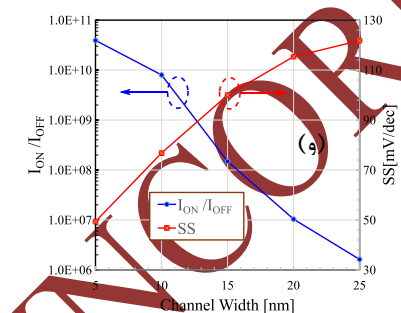
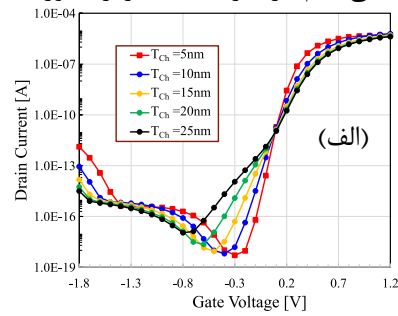
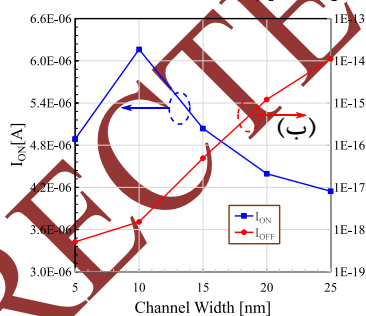
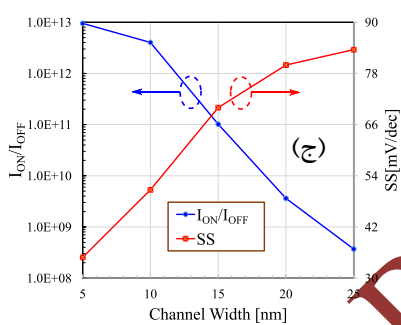
در شکل (۲) جریان درین به صورت تابعی از ولتاژ گیت برای ترانزیستور مبتنی بر (الف) ژرمانیوم و (ب) گالیوم-آرسناید برای ولتاژ درین‌های مختلف نشان داده شده‌است. به ازای ولتاژ درین برابر ۰/۵ ولت، جریان روشنایی درین مبتنی بر ژرمانیوم (جریان درین با اعمال ولتاژ گیت ۱/۲ ولت) برابر است با  $9.5 \times 10^{-7}$  آمپر بر متر و جریان مذکور برای ترانزیستور مبتنی بر گالیوم-آرسناید برابر  $3.3 \times 10^{-4}$  آمپر بر متر است. همان‌گونه که مشخص است جریان روشنایی ترانزیستور مبتنی بر گالیوم-آرسناید حدود ۳۵۰ برابر بزرگ‌تر است. در ولتاژهای درین دیگر نیز بزرگی جریان روشنایی ترانزیستور مبتنی بر گالیوم-آرسناید نسبت به ژرمانیوم در همین رنج است. جریان خاموشی (جریان درین با اعمال ولتاژ گیت برابر ۰/۳- ولت) برای ترانزیستور مبتنی بر ژرمانیوم و همچنین ترانزیستور مبتنی بر گالیوم-آرسناید به ازای ولتاژ درین برابر ۰/۵ ولت به ترتیب برابر  $8.1 \times 10^{-16}$  و  $4.1 \times 10^{-17}$  آمپر بر متر است که نشان‌دهنده این است که جریان خاموشی نیز برای ترانزیستور مبتنی بر گالیوم-آرسناید حدود ۲۰ برابر کوچک‌تر است. به ازای ولتاژ درین ۰/۵ ولت، نسبت



شکل ۲ - جریان درین به صورت تابعی از ولتاژ گیت برای ترانزیستور تونل زنی عمودی مبتنی بر (الف) ژرمانیوم و (ب) گالیوم-آرسناید.

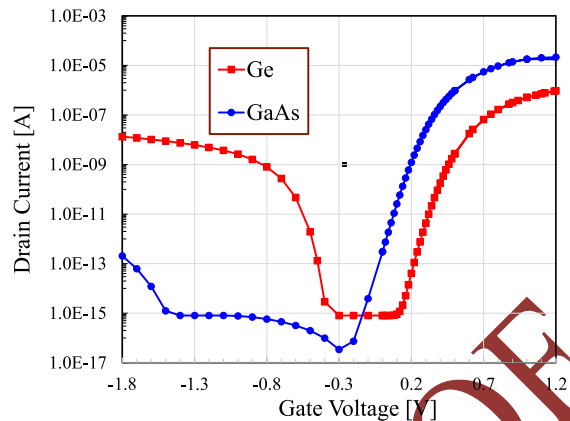
آرسناید است. لازم به ذکر است استفاده از گالیوم-آرسناید به عنوان کانال ترانزیستور مبتنی بر ژرمانیوم، فرآیند ساخت آن را دشوارتر خواهد کرد، اما با توجه به مزایای بیان شده در خصوص پارامترهای این ترانزیستور، به نظر می‌رسد که ساخت آن در آینده مورد توجه قرار گیرد. از طرفی، با توجه به یکسان بودن ثابت شبکه این دو ماده، رشد گالیوم-آرسناید بر روی ژرمانیوم بدون تنش امکان‌پذیر است.

شکل (۴-الف) و (۴-د) جریان درین را به صورت تابعی از ولتاژ گیت برای ترانزیستور مبتنی بر گالیوم-آرسناید و به ازای عرض کانال مختلف نشان می‌دهد. ولتاژ درین در (الف، ب، ج) ۰/۱ ولت و در (د، ه، و) ۰/۵ ولت در نظر گرفته شده‌است. همان‌گونه که در این شکل مشخص است، افزایش عرض کانال باعث کاهش شیب زیرآستانه (Subthreshold Slope) و در نتیجه افزایش پیرش زیر-آستانه (Subthreshold Swing) خواهد شد.



شکل ۴ - جریان درین به صورت تابعی از ولتاژ گیت به ازای ضخامت‌های مختلف کانال ( $T_{ch}$ ) و (الف) ولتاژ درین ۰/۱ ولت و (د) ولتاژ درین ۰/۵ ولت. جریان روشنایی و جریان خاموشی برای (ب) ولتاژ درین ۰/۱ ولت و (ه) ولتاژ درین ۰/۵ ولت. قابل توجه است که محور جریان روشنایی خطی و جریان خاموشی به صورت لگاریتمی است. نسبت جریان روشنایی به جریان خاموشی و پیرش زیرآستانه برای (ج) ولتاژ درین ۰/۱ ولت و (و) ولتاژ درین ۰/۵ ولت.

جریان روشنایی، جریان خاموشی، نسبت جریان روشنایی به خاموشی و همچنین پیرش زیرآستانه برای ولتاژ درین ۰/۱ ولت در شکل‌های (۴-ب) و (۴-ج) و همچنین برای



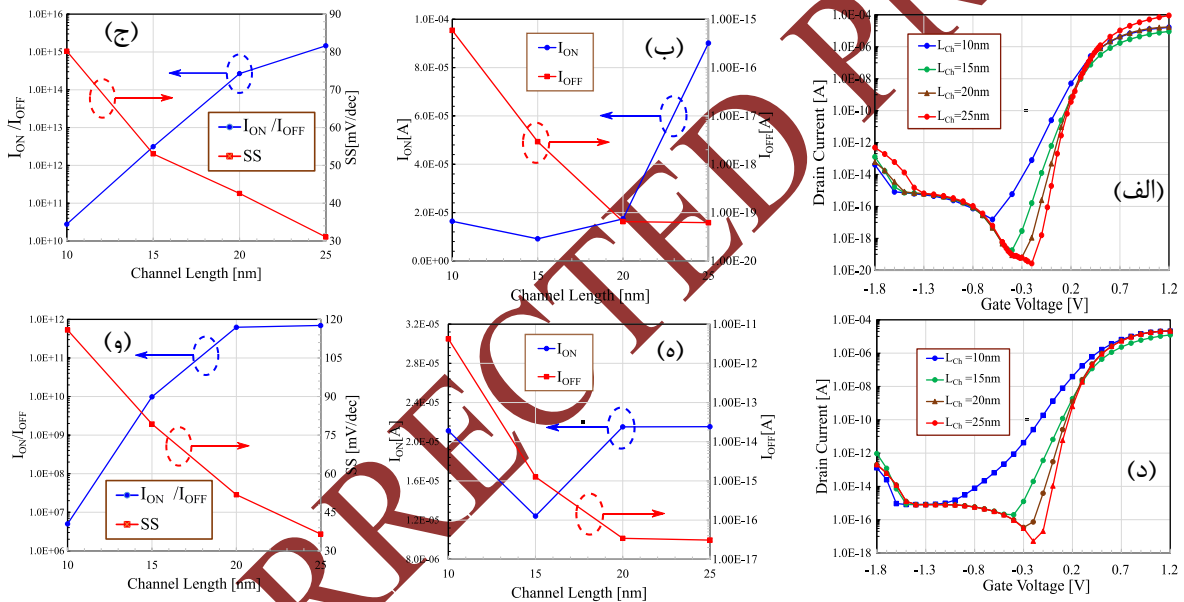
شکل ۳- مقایسه جریان درین ترانزیستور تونل زنی مبتنی بر ژرمانیوم و مبتنی بر گالیوم-آرسناید.

شکل (۳) جریان درین را به صورت تابعی از ولتاژ گیت ترانزیستور مبتنی بر ژرمانیوم و همچنین ترانزیستور مبتنی بر گالیوم-آرسناید به ازای ولتاژ درین ۰/۵ ولت برای مقایسه بهتر نشان می‌دهد. همان‌گونه که در این شکل نیز مشخص است، جریان روشنایی بزرگ‌تر، جریان خاموشی کوچک‌تر و جریان دوقطبی کوچک در ولتاژهای منفی هم از مزیت‌های ترانزیستور مبتنی بر گالیوم-

افزایش عرض کانال تأثیر چندانی در جریان روشنایی ندارد اما جریان خاموشی را افزایش می‌دهد و در نتیجه نسبت جریان روشنایی به جریان خاموشی کاهش می‌یابد.

ولتاژ درین ۰/۵ ولت در شکل‌های (۴-ه) و (۴-و) به صورت تابعی از ضخامت کانال نشان داده شده‌است. جریان خاموشی با افزایش عرض کانال از ۵ به ۲۵ نانومتر بیش از  $10^4$  مرتبه افزایش پیدا می‌کند در حالی که، جریان روشن تغییر زیادی ندارد. نسبت جریان روشنایی به خاموشی با تغییر عرض کانال از ۵ تا ۲۵ نانومتر حدود  $10^4 \times 2/6$  مرتبه کاهش پیدا می‌کند. پخش زیرآستانه برای ضخامت‌های مختلف کانال در شکل-های (۴-ج) و (۴-و) به ترتیب برای ولتاژ درین ۰/۱ ولت و ۰/۵ ولت نشان داده شده‌است. افزایش ضخامت کانال

افزایش پخش زیرآستانه را به دنبال دارد. همان‌گونه که در شکل مشخص است، افزایش طول کانال از ۵ تا ۲۵ نانومتر، پخش زیرآستانه را حدود ۲/۴ برابر افزایش می‌دهد. افزایش ولتاژ درین از ۰/۱ ولت به ۰/۵ نیز باعث کاهش حدود ۳۰ درصدی پخش زیرآستانه می‌گردد. با توجه به اثر القا درین بر کاهش سد ولتاژ (Drain induced barrier lowering)، ولتاژ بالای درین اثر بیشتری بر کانال خواهد داشت که باعث افزایش جریان خاموشی و افزایش پخش زیرآستانه می‌گردد.



شکل ۵ - جریان درین به صورت تابعی از ولتاژ گیت به ازای طول مختلف کانال ( $L_{ch}$ ) و (الف) ولتاژ درین ۰/۱ ولت و (د) ولتاژ درین ۰/۵ ولت. جریان روشنایی و جریان خاموشی برای (ب) ولتاژ درین ۰/۱ ولت و (ه) ولتاژ درین ۰/۵ ولت قابل توجه است که محور جریان روشنایی خطی و جریان خاموشی به صورت لگاریتمی است. نسبت جریان روشنایی به جریان خاموشی و پخش زیرآستانه برای (ج) ولتاژ درین ۰/۱ ولت و (و) ولتاژ درین ۰/۵ ولت.

برای ولتاژ درین ۰/۱ ولت از مقدار  $2/8 \times 10^4$  به  $1/5 \times 10^{15}$  خواهد بود. همان‌گونه که در توضیح شکل (۴) بیان شد، نسبت جریان روشنایی به خاموشی در ولتاژهای درین کوچک، بزرگ‌تر است و اثر تغییر طول و یا عرض کانال در ولتاژ درین کوچک، کمتر از این اثر در ولتاژ درین بزرگ خواهد بود.

#### ۴- نتیجه‌گیری

در این مقاله ترانزیستور تونل‌زنی عمودی مبتنی بر ژرمانیوم با استفاده از گالیوم-آرسناید به جای ژرمانیوم به

شکل (۵-الف) و (۵-د) جریان درین را به صورت تابعی از ولتاژ گیت برای ترانزیستور مبتنی بر گالیوم-آرسناید و به ازای طول‌های مختلف کانال نشان می‌دهد. ولتاژ درین در (الف) ۰/۱ ولت و در (د) ۰/۵ ولت در نظر گرفته شده - است. افزایش طول کانال از ۱۰ تا ۲۵ نانومتر تأثیر چندانی در جریان روشنایی ندارد، اما کاهش جریان خاموشی را به دنبال دارد. این کاهش تا حدود ۵ دهه برای ولتاژ درین ۰/۵ ولت است که باعث می‌گردد نسبت جریان روشنایی به خاموشی با این افزایش طول کانال از  $10^6 \times 5/0$  به  $10^{11} \times 7/0$  افزایش یابد و البته این تغییر

عنوان کانال ترانزیستور مورد بررسی قرار گرفته است. ویژگی‌های الکتریکی ترانزیستور در دو حالت استفاده از ژرمانیوم و همچنین استفاده از گالیوم-آرسناید به عنوان کانال مقایسه شده است. نتایج نشان می‌دهد که جریان روشنایی بیشتر، جریان خاموشی کمتر و جریان دوقطبی درین کمتر در ولتاژ گیت منفی، از مزایای استفاده از گالیوم-آرسناید به جای ژرمانیوم به عنوان کانال است. نسبت جریان روشنایی به خاموشی با افزایش طول کانال و کاهش عرض کانال افزایش می‌یابد و این نسبت می‌تواند تا  $10^{15} \times 1/5$  افزایش پیدا کند. در ادامه می‌توان جایگزینی

مواد دیگر در کانال مورد بررسی قرار داد. به عنوان مثال، آلومنیوم-آرسناید با ثابت شبکه‌ی یکسان و شکاف انرژی بیشتر نسبت به گالیوم-آرسناید می‌تواند باعث کاهش جریان خاموشی و بهبود عملکرد ترانزیستور گردد. علاوه بر این، می‌توان استفاده از این مواد را به عنوان کانال در ترانزیستورهای نوین از جمله ترانزیستور T شکل مبتنی بر ژرمانیوم بررسی کرد.

## مراجع

- [1] R.-H. Yan, A. Ourmazd, and K. F. Lee, "Scaling the Si MOSFET: From bulk to SOI to bulk," IEEE Transactions on Electron Devices, vol. 39, no. 7, 1992, pp. 1704-1710.
- [2] Nakamura K, Nagamura N, Ueno K, Taniguchi T, Watanabe K, Nagashio K. All 2D heterostructure tunnel field-effect transistors: impact of band alignment and heterointerface quality. ACS Applied Materials & Interfaces. 2020 Nov 4;12(46):51598-606.
- [3] Najam F, Yu YS. Impact of quantum confinement on band-to-band tunneling of line-tunneling type L-shaped tunnel field-effect transistor. IEEE Transactions on Electron Devices. 2019 Feb 24;66(4):2010-6.
- [4] Gayduchenko I, Xu SG, Alymov G, Moskotin M, Tretyakov I, Taniguchi T, Watanabe K, Goltsman G, Geim AK, Fedorov G, Svintsov D. Tunnel field-effect transistors for sensitive terahertz detection. Nature Communications. 2021 Jan 22;12(1):543.
- [5] Pang CS, Han SJ, Chen Z. Steep slope carbon nanotube tunneling field-effect transistor. Carbon. 2021 Aug 15;180:237-43.
- [6] عبدی تهنه و بهروز نادری، "ساختار جدید ترانزیستور اثر میدانی نانولوله کربنی تونلی زنی با دوپینگ خطی در ناحیه درین: شبیه‌سازی عددی کوانتومی"، نشریه مدل سازی در مهندسی، دوره ۱۶، شماره ۵۲، بهار ۱۳۹۷، صفحه ۱۰۹-۱۱۷.
- [7] علی نادری و مریم قدرتی، "بهبود عملکرد ترانزیستور اثر میدانی نانولوله کربنی تونل‌زنی در حضور پلیمپوشانی"، نشریه مدل سازی در مهندسی، دوره ۱۷، شماره ۵۹، زمستان ۱۳۹۸، صفحه ۲۱۵-۲۲۴.
- [8] علی اصغر اروجی، اکرم عنبر حیدری و زینب رضانی، "ترانزیستور اثر میدان فلز-نیمه هادی با ناحیه بدون ناخالصی در طرف درین برای اصلاح چگالی حامل‌ها و کاربردهای توان بالا"، نشریه مدل سازی در مهندسی، دوره ۱۳، شماره ۴۳، زمستان ۱۳۹۴، صفحه ۱۲۷-۱۲۱.
- [9] سید سعید افضل، علی اصغر اروجی، زینب رضانی، "ترانزیستور ماسفت سه‌گیتی با استفاده از دیود تونل‌زنی سیلیسیم-ژرمانیم برای بهبود اثر بدنه شناور"، مجله مهندسی برق دانشگاه تبریز، دوره ۴۸، شماره ۳، پاییز ۱۳۹۷، صفحه ۹۸۵-۹۹۰.
- [10] نگار بشیری و رضا حسینی، "طراحی و تحلیل یک ترانزیستور اثر میدانی تونلی بدون پیوند دو گیتی با ساختار گیت چند ماده‌ای"، فصلنامه مهندسی برق و الکترونیک ایران، دوره ۱۸، شماره ۴، ۱۴۰۰.
- [11] سیده محبوبه سجادی و سعید محمدی، "اثر تله‌های موجود در شکاف باند انرژی بر روی جریان درین در ترانزیستورهای اثر میدان تونلی"، مجله مهندسی برق دانشگاه تبریز، دوره ۵۰، شماره ۴، ۱۳۹۹، صفحه ۱۶۳۹-۱۶۴۵.
- [12] Kim S, Myeong G, Shin W, Lim H, Kim B, Jin T, Chang S, Watanabe K, Taniguchi T, Cho S. Thickness-controlled black phosphorus tunnel field-effect transistor for low-power switches. Nature nanotechnology. 2020 Mar;15(3):203-6.
- [13] A. C. Seabaugh and Q. Zhang, "Low-Voltage Tunnel Transistors for Beyond CMOS Logic," Proceedings of the IEEE, vol. 98, no. 12, Dec. 2010, pp. 2095-2110.



- [14] T. Krishnamohan, D. Kim, S. Raghunathan, and K. Saraswat, "Double-Gate Strained-Ge Heterostructure Tunneling FET (TFET) With record high drive currents and  $\ll 60\text{mV/dec}$  subthreshold slope," in Electron Devices Meeting, 2008. IEDM 2008. IEEE International, 2008, pp. 1–3.
- [15] P.-F. Wang et al., "Complementary tunneling transistor for low power application," *ssc*, vol. 48, no. 12, 2004, pp. 2281–2286.
- [16] K. Boucart and A. M. Ionescu, "Double-gate tunnel FET with high- $\kappa$  gate dielectric," *IEEE transactions on electron devices*, vol. 54, no. 7, 2007, pp. 1725–1733.
- [17] K. K. Bhuvalka, J. Schulze, and I. Eisele, "A simulation approach to optimize the electrical parameters of a vertical tunnel FET," *IEEE transactions on electron devices*, vol. 52, no. 7, 2005, pp. 1541–1547.
- [18] A. S. Verhulst, W. G. Vandenberghe, K. Maex, S. De Gendt, M. M. Heyns, and G. Groeseneken, "Complementary silicon-based heterostructure tunnel-FETs with high tunnel rates," *IEEE electron device letters*, vol. 29, no. 12, 2008, pp. 1398–1401.
- [19] T. Krishnamohan, D. Kim, C. D. Nguyen, C. Jungemann, Y. Nishi, and K. C. Saraswat, "High-mobility low band-to-band-tunneling strained-germanium double-gate heterostructure FETs: Simulations," *IEEE Transactions on Electron Devices*, vol. 53, no. 5, 2006, pp. 1000–1009.
- [20] S. Singh and B. Raj, "Analytical and Compact Modeling Analysis of a SiGe Hetero-Material Vertical L-Shaped TFET," *Silicon*, Feb. 2021.
- [21] Yu J, Kim S, Ryu D, Lee K, Kim C, Lee JH, Kim S, Park BG. Investigation on ambipolar current suppression using a stacked gate in an L-shaped tunnel field-effect transistor. *Micromachines*. 2019 Nov 3;10(11):753.
- [22] D. B. Abdi and M. J. Kumar, "Controlling ambipolar current in tunneling FETs using overlapping gate-on-drain," *IEEE Journal of the Electron Devices Society*, vol. 2, no. 6, 2014, pp. 187–190.
- [23] Kumar S, Singh KS, Nigam K, Chaturvedi S. Ambipolarity suppressed dual-material double-source T-shaped tunnel field-effect transistor. *Silicon*. 2021 Jul;13:2065-70.
- [24] J. S. Kim et al., "High-performance Ge/GaAs heterojunction tunneling FET with a channel engineering for sub-0.5 V operation," *Semiconductor Science and Technology*, vol. 30, no. 3, 2015, p. 035020.
- [25] C. Rajan, D. Sharma, and D. P. Samajdar, "Implementation of physical unclonable functions using heterojunction based GAA TFET," *Superlattices and Microstructures*, vol. 126, 2019, pp. 72–82.
- [26] R. Juyal and S. S. Chauhan, "TCAD simulation of Ge-GaAs heterojunction dopingless tunnel field effect transistor," 2016, pp. 1434–1437.
- [27] B. C. Mech, K. Koley, and J. Kumar, "Ge-GaAs-Ge Heterojunction MOSFETs for Mixed-Signal Applications," *IEEE Transactions on Electron Devices*, vol. 67, no. 9, 2020, pp. 3585–3591.
- [28] M. F. Jawad, T. Rahman, and J. K. Saha, "Performance Enhancement of Ge/GaAs Heterostructure Tunneling Field Effect Transistor," 2020, pp. 01TPNS02-1.
- [29] Y. J. Yoon, J. H. Seo, S. Cho, H.-I. Kwon, J.-H. Lee, and I. M. Kang, "Sub-10 nm Ge/GaAs heterojunction-based tunneling field-effect transistor with vertical tunneling operation for ultra-low-power applications," *JSTS: Journal of Semiconductor Technology and Science*, vol. 16, no. 2, 2016, pp. 172–178.

# Improving Performance of Germanium-Based Vertical Tunneling Field Effect Transistor Using GaAs as Channel

Shoeb Babae Touski<sup>1</sup>, Mohammad Javad Rezaei<sup>1</sup> and Manouchehr Hosseini<sup>2,\*</sup>

1. Department of Electrical Engineering, Hamedan University of Technology, Hamedan, Iran

2. Department of Electrical Engineering, Bu-Ali Sina University, Hamedan, Iran.

\*Corresponding Author:

ARTICLE INFO	ABSTRACT
Keywords: Vertical Transistor Tunneling Silvaco Germanium Gallium Arsenide On-current Off-Current	In this paper, Germanium-based vertical tunneling transistors are investigated and the electrical properties of the transistor in two modes of Germanium utilization as well as Gallium Arsenide as the channel are compared. The simulation of this transistor was performed by Silvaco software using non-local tunneling model. The results show that more ON-current, less OFF-current and less bipolar current at negative gate voltage are the advantages of using Gallium Arsenide instead of Germanium as the channel. In the following, the channel parameters are changed and the effect of their change on the behavior of the transistor is studied. Increasing the channel length reduces the Off-current and increases the On-current to Off-current ratio, as well as reducing the sub-threshold slope. On the other hand, increasing the channel width reduces On-current to Off-current ratio and increases the sub-threshold slope. The On-current to Off-current ratio increases with increasing channel length and decreasing channel width, and increases to $1.5 \times 10^{+15}$ .